

acylcionastero-3-O-glucoside.

参考文献:

- [1] 中国植物志编辑委员会. 中国植物志 [M]. 第21卷. 北京: 科学出版社, 1979.
- [2] 刘宁, 李正芬, 陈蓉蓉. 贵州杨梅属药用植物资源调查 [J]. 中国医药学报, 1998, 13(3): 21-22.
- [3] Yu Y F, Lu Q, Mei R Q, et al. Myricanone and myricanol: Two new cyclic diarylheptanoids from the roots of *Myrica nana* [J]. *Helv Chim Acta*, 2007, 90: 1691-1696.
- [4] Wang J F, Dong S S, Wang Y H, et al. Cyclic diarylheptanoids from *Myrica nana* inhibiting nitric oxide release [J]. *Bioorg Med Chem*, 2008, 16: 8510-8515.
- [5] Audier H E, Beugelnans R, Das B C. Mass spectrometry of tetracyclic triterpenes part II. The lanostane group: influence of the 9, 9-cyclopropane ring [J]. *Tetrahedron Lett*, 1966, 36: 4341-4347.
- [6] 何敏, 陈纪军, 周俊. 大白药的新三萜化合物 [J]. 云南植物研究, 1992, 14(3): 323-327.
- [7] Yaguchi Y, Sakurai N, Nagai M, et al. Constituents of *Myrica rubra*. III. Structures of two glycosides of myricanol [J]. *Chem Pharm Bull*, 1988, 36, 1419-1424.
- [8] 马卓, 李琼娅, 范文乾, 等. 空心莲子草化学成分研究 [J]. 中草药, 2008, 39(4): 499-502.
- [9] Merfort I, Buddrus J, Nawwar M A M, et al. A triterpene from the bark of *Tamarix aphylla* [J]. *Phytochemistry*, 1992, 31: 4031-4032.
- [10] Kundu A P, Mahato S B. Triterenoids and the glycosides from *Terminalia chebula* [J]. *Phytochemistry*, 1993, 32: 999-1002.
- [11] Leo M D, Tommasi N D, Sanogo R, et al. Triterpenoids saponins from *Pteleopsis suberosa* stem bark [J]. *Phytochemistry*, 2006, 67: 2623-2629.
- [12] Grech J, Li Q, Roufogalis B D, et al. Novel Ca^{2+} -ATPase inhibitors from the dried root tubers of *Polygonum multiflorum* [J]. *J Nat Prod*, 1994, 57: 1682-1687.
- [13] Takasaki M, Kuroki S, Kozuka M, et al. New phenylpropanoid esters of sucrose from *Polygonum lapathifolium* [J]. *J Nat Prod*, 2001, 64: 1305-1308.
- [14] Pullela S V, Choi Y W, Khan S, et al. New acylated clionasterol glycosides from *Valeriana officinalis* [J]. *Planta Med*, 2005, 71: 960-961.

菝葜中黄酮和二苯乙烯类成分的研究

邵波¹, 郭洪祝², 果德安^{1*}

(1. 北京大学药学院, 北京 100083; 2. 北京市药品检验所, 北京 100035)

摘要: 目的 研究菝葜 *Smilax china* 的化学成分。方法 采用硅胶、Sephadex LH-20、ODS 柱色谱及半制备液相色谱等技术分离菝葜的化学成分, 根据化合物的理化性质及波谱数据鉴定化合物的结构。结果 从菝葜中分离得到 11 个化合物, 其中黄酮类成分 7 个: 二氢山柰酚-5-O-β-D-葡萄糖苷(I)、黄杞苷(II)、异黄杞苷(III)、双氢槲皮素-3'-O-葡萄糖苷(IV)、3, 5, 7, 3', 5'-五羟基二氢黄酮醇(V)、落新妇苷(VI)和槲皮素-3'-O-葡萄糖苷(VII); 二苯乙烯类化合物 4 个: 白藜芦醇苷(VIII)、藨草素 A(scirpusin A, IX)、白藜芦醇(X)和 2, 4, 3', 5'-四羟基芪(XI)。结论 化合物 IV~IX 均为首次从该植物中分离得到; 化合物 IX 的碳谱数据为首次报道。

关键词: 菝葜; 黄酮类; 二苯乙烯类

中图分类号: R284.1 文献标识码: A 文章编号: 0253-2670(2009)11-1700-04

Flavonoids and stilbenes from *Smilax china*

SHAO Bo¹, GUO Hong-zhu², GUO De-an¹

(1. School of Pharmaceutical Sciences, Peking University, Beijing 100083, China;

2. Beijing Institute for Drug Control, Beijing 100035, China)

Abstract: Objective To study the chemical constituents of *Smilax china*. **Methods** The compounds were isolated by silica gel, Sephadex LH-20, ODS chromatography, and semi-preparative HPLC. Their structures were elucidated on the basis of MS and NMR spectroscopic analyses. **Results** Seven flavonoids and four stilbenes were isolated and identified as dihydrokaempferol-5-O-β-D-glucoside (I), engeletin (II), isoengeletin (III), dihydroquercetin-3-O-glycoside (IV), 3, 5, 7, 3', 5'-pentahydroxy-flavanonol (V), astilbin (VI), quercetin-3'-O-glycoside (VII), piceid (VIII), scirpusin A (IX), resveratrol (X), and oxyresveratrol (XI). **Conclusion** Compounds IV—IX are isolated from this plant for the first time, among which the ¹³C-NMR data of compound IX is reported firstly.

收稿日期: 2009-03-19

基金项目: 国家杰出青年基金资助项目(39925040)

作者简介: 邵波(1974—), 女, 辽宁省大连庄河市人, 现在北京化工大学生命科学院从事博士后研究, 讲师。

Tel: (010) 83438307 E-mail: shaoboxing2005@yahoo.com.cn

* 通讯作者 果德安

Key words: *Smilax china* L.; flavonoids; stilbenes

菝葜 *Smilax china* L. 为百合科菝葜属植物,该属植物全世界约有 300 种,广布于热带地区,也见于东亚和北美的温暖地区,少数种类产于地中海沿岸,我国有 60 种和一些变种,大多分布于长江以南各省区^[1]。现代药理学研究表明,菝葜具有抗菌、抗炎、抗锥虫、抗肿瘤等作用。临床单用或与其他药物配伍用于风湿痹痛和各种炎性疾病,如妇科盆腔炎及炎症性包块、前列腺炎及各种肿瘤等^[2]。为阐明菝葜的药效物质基础,并为其质量控制及开发利用提供依据,笔者对其进行了化学成分研究。前文^[3]曾报道了从中分离鉴定了 17 个化学成分,包括甾体皂苷类及苯丙素类成分。本实验报道新分离鉴定的另外 11 个化学成分,其中黄酮类成分 7 个,二苯乙烯类成分 4 个。

1 仪器与材料

X—5 型显微熔点测定仪;Perkin-Elmer 241 型旋光仪;红外光谱用 Avatar 360 型红外光谱仪测定,KBr 压片;质谱用 Thermo Finnigan LCQ advantage 质谱仪测定;核磁共振谱用 Joel-300 型和 Bruker DRX—500 型光谱仪测定;Spectra Series HPLC 型半制备高效液相系统(Thermo Quest)(P100 泵,UV100 检测器)。

薄层硅胶 G、GF₂₅₄ 和柱色谱硅胶(100~200 目,200~300 目)均为青岛海洋化工厂产品;柱色谱用反相硅胶(ODS,80~100 μm)及 Sephadex LH-20(25~100 μm)为 Pharmacia 公司产品,上海化学试剂厂分装。常规提取分离甲醇、乙醇、丙酮、醋酸乙酯、氯仿、二氯甲烷、石油醚、正丁醇等均为北京化工厂分析纯产品;色谱纯甲醇为北京化工厂产品;色谱纯乙腈为 Merck 公司产品;纯净水为本校中心实验室制超纯水。菝葜药材由北京大学药学院生药生物技术研究室果德安教授鉴定,生药标本存放于该研究室。

2 提取与分离

取菝葜药材 9 kg,粉碎后分别用 95%、50% 乙醇冷浸提取,提取液合并,减压浓缩,浓缩液分散于 1 000 mL 水中,依次用石油醚、醋酸乙酯、正丁醇萃取,得醋酸乙酯萃取物 120 g,正丁醇萃取物 500 g。取醋酸乙酯、正丁醇萃取物,经反复硅胶柱色谱、D₁₀₁ 大孔吸附树脂、Sephadex LH-20、ODS 柱色谱及半制备液相色谱等方法,分离纯化得到化合物 I(10 mg)、II(15 mg)、III(8 mg)、IV(70 mg)、V(10

mg)、VI(13 mg)、VII(80 mg)和 VIII(34 mg)、IX(9 mg)、X(320 mg)、XI(142 mg)。

3 结构鉴定

化合物 I:淡黄色片晶,mp 253.9~255.7 °C。ESI-MS m/z :449.1 [M-H]⁻,结合¹³C-NMR 谱可知其分子式为 C₂₁H₂₃O₁₁。¹H-NMR(300 MHz, DMSO-d₆) δ: 4.95(1H, d, J =11.1 Hz, H-2), 4.30(1H, d, J =11.7 Hz, H-3), 5.96(1H, d, J =1.8 Hz, H-6), 6.32(1H, d, J =1.8 Hz, H-8), 7.30(2H, d, J =8.4 Hz, H-2', 6'), 6.78(2H, d, J =8.4 Hz, H-3', 5'), 4.75(1H, d, J =6.9 Hz, H-1"), 示苷键为 β- 构型)。¹³C-NMR(75 MHz, DMSO-d₆) δ: 190.9(C-4), 166.7(C-7), 163.6(C-5), 160.3(C-9), 157.7(C-4'), 129.4(C-2', 6'), 127.8(C-1'), 114.9(C-3', 5'), 102.6(C-1"), 102.3(C-10), 98.7(C-6), 97.5(C-8), 82.2(C-2), 77.4(C-5"), 76.0(C-3"), 73.4(C-2"), 72.5(C-3), 69.5(C-4"), 60.6(C-6")。以上波谱数据与文献对照^[4],与二氢山柰酚-5-O-β-D-葡萄糖苷(dihydrokaempferol-5-O-β-D-glucoside)一致。

化合物 II:淡黄色粉末。ESI-MS m/z :433.2 [M-H]⁻。结合¹³C-NMR 谱可知其分子式为 C₂₁H₂₂O₁₀。¹H-NMR(300 MHz, DMSO-d₆) δ: 5.87(1H, d, J =1.8 Hz, H-6), 5.90(1H, d, J =2.1 Hz, H-8), 7.32(2H, d, J =8.4 Hz, H-2', 6'), 6.78(2H, d, J =8.4 Hz, H-3', 5'), 5.28(1H, d, J =10.5 Hz, H-2), 4.74(1H, d, J =10.5 Hz, H-3), 4.49(1H, brs, H-1"), 1.03(3H, d, J =6.0 Hz, H-6")。¹³C-NMR(75 MHz, DMSO-d₆) δ: 194.8(C-4), 167.0(C-7), 163.4(C-5), 162.2(C-9), 157.8(C-4'), 129.1(C-2', 6'), 126.5(C-1'), 115.1(C-3', 5'), 100.3(C-1"), 98.5(C-10), 96.1(C-6), 95.1(C-8), 81.5(C-2), 75.9(C-3), 71.6(C-4"), 70.2(C-3"), 70.1(C-2"), 69.0(C-5"), 17.7(C-6")。以上波谱数据与文献对照^[5],与黄杞苷(engeletin)一致。

化合物 III:淡黄色粉末。ESI-MS m/z :433.2 [M-H]⁻。结合¹³C-NMR 谱可知其分子式为 C₂₁H₂₂O₁₀。¹H-NMR(500 MHz, DMSO-d₆) δ: 5.93(1H, d, J =2.0 Hz, H-6), 5.96(1H, d, J =1.5 Hz, H-8), 7.26(2H, d, J =8.5 Hz, H-2', 6'), 6.76(2H, d, J =8.0 Hz, H-3', 5'), 5.62(1H, d, J =2.0 Hz, H-2), 4.17(1H, d, J =2.5 Hz, H-3), 4.75(1H,

brs, H-1''), 0.80 (1H, d, $J = 6.0$ Hz, H-6'')。 $^{13}\text{C-NMR}$ (125 MHz, DMSO- d_6) δ : 192.8 (C-4'), 167.1 (C-7), 164.0 (C-4'), 162.6 (C-9), 157.2 (C-5), 127.8 (C-2', 6'), 125.8 (C-1'), 114.8 (C-3', 5'), 100.1 (C-10), 98.5 (C-1''), 96.2 (C-6), 95.2 (C-8), 80.0 (C-2), 73.1 (C-3), 71.1 (C-4''), 70.2 (C-3''), 70.1 (C-2''), 68.9 (C-5''), 17.6 (C-6'')。

以上波谱数据与文献对照^[6],与异黄杞苷(isoengeletin)一致。

化合物IV:灰黄色粉末。ESI-MS m/z : 465.1 [M]⁺。结合 $^{13}\text{C-NMR}$ 谱可知其分子式为 $C_{21}H_{22}O_{12}$ 。 $^1\text{H-NMR}$ (300 MHz, DMSO- d_6) δ : 5.00 (1H, d, $J = 11.4$ Hz, H-2), 4.56 (1H, d, $J = 11.4$ Hz, H-3), 5.83 (1H, d, $J = 2.1$ Hz, H-6), 5.88 (1H, d, $J = 2.1$ Hz, H-8), 7.24 (1H, d, $J = 1.8$ Hz, H-2'), 6.83 (1H, d, $J = 7.8$ Hz, H-5'), 7.01 (1H, dd, $J = 8.4, 1.8$ Hz, H-6'), 4.69 (1H, d, $J = 7.2$ Hz, H-1')。 $^{13}\text{C-NMR}$ (75 MHz, DMSO- d_6) δ : 197.6 (C-4), 167.5 (C-7), 163.3 (C-5), 162.5 (C-9), 147.2 (C-4'), 144.9 (C-3'), 128.2 (C-1'), 122.9 (C-6'), 116.6 (C-2'), 115.5 (C-5'), 102.1 (C-1''), 100.2 (C-10), 96.2 (C-6), 95.2 (C-8), 82.9 (C-2), 77.2 (C-3''), 76.0 (C-5''), 73.3 (C-2''), 71.3 (C-3), 69.7 (C-4''), 60.6 (C-6'')。

以上波谱数据与文献对照^[7],与双氢槲皮素-3-O-葡萄糖苷(dihydroquercetin-3-O-glycoside)一致。

化合物V:淡黄色粉末。ESI-MS m/z : 303.3 [$M - H$]⁻。结合 $^{13}\text{C-NMR}$ 谱可知其分子式为 $C_{15}H_{12}O_7$ 。 $^1\text{H-NMR}$ (300 MHz, DMSO- d_6) δ : 4.96 (1H, d, $J = 11.1$ Hz, H-2), 4.48 (1H, d, $J = 11.1$ Hz, H-3), 5.84 (1H, brs, H-6), 5.88 (1H, brs, H-8), 6.73 (2H, s, H-2', 6'), 6.86 (1H, s, H-4')。 $^{13}\text{C-NMR}$ (75 MHz, DMSO- d_6) δ : 197.7 (C-4), 167.1 (C-7), 163.4 (C-5), 162.6 (C-9), 145.8 (C-3'), 145.0 (C-5'), 128.0 (C-1'), 119.4 (C-4'), 115.4 (C-2'), 115.1 (C-6'), 100.4 (C-10), 96.1 (C-6), 95.1 (C-8), 83.1 (C-2), 71.6 (C-3)。

以上波谱数据与文献对照^[8],与3,5,7,3',5'-五羟基二氢黄酮醇(3,5,7,3',5'-pentahydroxyflavanonol)一致。

化合物VI:白色无定形粉末。ESI-MS m/z : 449.1 [$M - H$]⁻。 $^1\text{H-NMR}$ (300 MHz, DMSO- d_6) δ : 5.22 (1H, d, $J = 10.1$ Hz, H-2), 4.60 (1H, d, $J = 10.1$ Hz, H-3), 5.90 (1H, d, $J = 2.0$ Hz, H-6), 5.87 (1H, d, $J = 2.0$ Hz, H-8), 6.90 (1H, d, $J = 8.4$ Hz, H-2'), 6.72 (1H, d, $J = 8.4$ Hz, H-5'),

6.78 (1H, d, $J = 8.4$ Hz, H-6'), 4.03 (1H, brs, H-1')。

与文献报道基本一致^[9];该化合物与落新妇苷对照品共HPLC,紫外光谱特征及 t_R 值,均与落新妇苷对照品一致,与落新妇苷混合后进样,HPLC图谱上只出一峰,且峰高及峰面积均较原来增大,故确定该化合物为落新妇苷(astilbin)。

化合物VII:淡黄色片晶,mp 202~204 °C。ESI-MS m/z : 465.1 [$M + H$]⁺。结合 $^{13}\text{C-NMR}$ 谱可知其分子式为 $C_{21}H_{20}O_{12}$ 。 $^1\text{H-NMR}$ (300 MHz, CD₃OD) δ : 6.15 (1H, brs, H-6), 6.41 (1H, brs, H-8), 8.12 (1H, d, $J = 2.1$ Hz, H-2'), 6.94 (1H, d, $J = 8.7$ Hz, H-5'), 7.85 (1H, dd, $J = 8.7, 2.1$ Hz, H-6'), 4.80 (H-1'', 埋在水峰中)。 $^{13}\text{C-NMR}$ (75 MHz, CD₃OD) δ : 177.3 (C-4), 166.0 (C-7), 162.4 (C-5), 158.2 (C-9), 150.4 (C-4'), 147.2 (C-2), 146.7 (C-3'), 137.5 (C-3), 124.9 (C-1'), 124.3 (C-6'), 117.9 (C-5'), 117.1 (C-2'), 104.3 (C-1''), 104.3 (C-10), 99.4 (C-6), 94.6 (C-8), 78.3 (C-5''), 77.5 (C-3''), 74.8 (C-2''), 71.2 (C-4''), 62.4 (C-6'')。

以上波谱数据与文献对照^[10],与槲皮素-3'-O-葡萄糖苷(quercetin-3'-O-glycoside)一致。

化合物VIII:淡黄色针晶,mp 223.1~226.3 °C。ESI-MS m/z : 389.2 [$M - H$]⁻。结合 $^{13}\text{C-NMR}$ 谱可知其分子式为 $C_{20}H_{22}O_8$ 。与化合物X相比,在 $^1\text{H-NMR}$ 、 $^{13}\text{C-NMR}$ 谱中,除多出一组葡萄糖信号外,其余信号几乎没有改变。 $^1\text{H-NMR}$ (500 MHz, DMSO- d_6) δ : 6.83 (1H, t, $J = 2.0$ Hz, H-2), 6.47 (1H, t, $J = 2.0$ Hz, H-4), 6.67 (1H, t, $J = 2.0$ Hz, H-6), 7.41 (2H, d, $J = 8.5$ Hz, H-10, 14), 6.84 (2H, d, $J = 8.5$ Hz, H-11, 13), 6.90 (1H, d, $J = 16.3$ Hz, H- α), 7.08 (1H, d, $J = 16.3$ Hz, H- β), 4.94 (1H, d, $J = 7.7$ Hz, H-1'')。 $^{13}\text{C-NMR}$ (75 MHz, DMSO- d_6) δ : 160.3 (C-3), 159.4 (C-5), 158.3 (C-12), 140.9 (C-1), 130.0 (C-9), 129.7 (C- β), 128.8 (C-10, 14), 126.6 (C- α), 116.5 (C-11, 13), 108.3 (C-6), 106.8 (C-2), 104.0 (C-4), 102.1 (C-1'), 78.5 (C-3'), 77.8 (C-5'), 74.8 (C-2'), 71.6 (C-4'), 62.9 (C-6')。

以上波谱数据与文献对照^[11],与白藜芦醇苷(piceid)一致。

化合物IX:淡黄色粉末。ESI-MS m/z : 469.3 [$M - H$]⁻。结合 $^{13}\text{C-NMR}$ 谱可知其分子式为 $C_{28}H_{22}O_7$ 。 $^1\text{H-NMR}$ (500 MHz, DMSO- d_6) δ : 7.15 (2H, d, $J = 8.5$ Hz, H-2, 6), 6.68 (2H, d, $J = 9.0$ Hz, H-3, 5), 6.25 (1H, d, $J = 2.0$ Hz, H-12),

6.60(1H,d, $J=2.0\text{ Hz}$,H-14),6.06(3H,s,H-2',4',6'),6.70(1H,d, $J=2.0\text{ Hz}$,H-10'),6.70(1H,d, $J=8.0\text{ Hz}$,H-13'),6.58(1H,dd, $J=8.5,2.0\text{ Hz}$,H-14'),6.84(1H,d, $J=16.0\text{ Hz}$,H-7),6.59(1H,d, $J=16.0\text{ Hz}$,H-8),5.27(1H,d, $J=5.0\text{ Hz}$,H-7'),4.37(1H,d, $J=5.0\text{ Hz}$,H-8')。 $^{13}\text{C-NMR}$ (75 MHz,DMSO- d_6) δ :160.8(C-11),158.7(C-3',5'),158.5(C-13),157.4(C-4),146.3(C-1'),145.3(C-11'),145.2(C-12'),134.8(C-9),132.6(C-9'),129.0(C- α),127.9(C-1),127.8(C-2,6),122.0(C- β),118.5(C-10),116.8(C-14'),115.5(C-3,5),115.4(C-13'),112.7(C-10'),105.4(C-2',6'),103.1(C-14),101.0(C-4'),92.5(C- β'),95.9(C-12),55.3(C- α')。根据其gCOSY, HMQC和HMBC谱可以得到其结构(图1),故鉴定该化合物为藨草素A(scirpusin A)。其 $^1\text{H-NMR}$ 数据与文献对照一致^[12];其 $^{13}\text{C-NMR}$ 数据为首次报道。

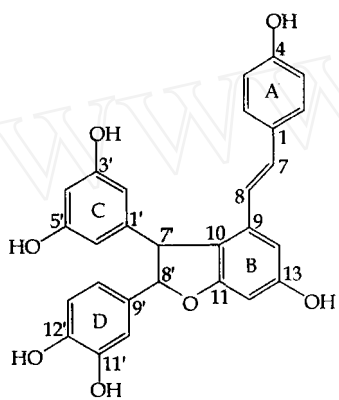


图1 化合物IX的结构

Fig.1 Structure of compound IX

化合物X:淡黄色针晶,mp 241.9~246.7℃。ESI-MS m/z :227.4[M-H]⁻。结合 $^{13}\text{C-NMR}$ 谱可知其分子式为 $C_{14}H_{12}O_3$ 。 $^1\text{H-NMR}$ (500 MHz,CD₃COCD₃) δ :6.58(2H,d, $J=2.1\text{ Hz}$,H-2,6),6.31(1H,t, $J=2.1\text{ Hz}$,H-4),7.43(2H,d, $J=8.7\text{ Hz}$,H-10,14),6.86(2H,d, $J=8.7\text{ Hz}$,H-11,13),6.90(1H,d, $J=16.2\text{ Hz}$,H-7(α)),7.04(1H,d, $J=16.2\text{ Hz}$,H-7(β))。 $^{13}\text{C-NMR}$ (75 MHz,CD₃COCD₃) δ :159.4(C-5,3),157.9(C-12),140.7(C-1),129.8(C- α),129.0(C-9),128.6(C-10,14),

126.6(C- β),116.3(C-11,13),105.6(C-2,6),102.5(C-4)。以上波谱数据与文献对照^[5],与白藜芦醇(resveratrol)一致。

化合物XI:淡黄色针晶,mp 93.7~96.4℃。ESI-MS m/z :243.2[M-H]⁻。结合 $^{13}\text{C-NMR}$ 谱可知其分子式为 $C_{14}H_{12}O_4$ 。 $^1\text{H-NMR}$ (500 MHz,DM-SO- d_6) δ :6.35(2H,d, $J=2.1\text{ Hz}$,H-2,6),6.07(1H,d, $J=2.1\text{ Hz}$,H-4),6.32(1H,d, $J=2.4\text{ Hz}$,H-11),6.25(1H,dd, $J=8.4,2.1\text{ Hz}$,H-13),7.35(1H,d, $J=8.4\text{ Hz}$,H-14),6.77(1H,d, $J=16.5\text{ Hz}$,H- α),7.15(1H,d, $J=16.5\text{ Hz}$,H- β)。 $^{13}\text{C-NMR}$ (75 MHz,DMSO- d_6) δ :158.5(C-3,5),158.2(C-12),156.1(C-10),140.0(C-1),127.2(C-14),124.6(C- α),123.2(C- β),115.3(C-9),107.3(C-13),104.0(C-2,6),102.6(C-11),101.4(C-4)。以上波谱数据与文献对照^[5],与2,4,3',5'-四羟基芪(oxyresveratrol)一致。

参考文献:

- [1] 中国科学院中国植物志编辑委员会. 中国植物志 [M]. 第15卷. 北京: 科学出版社, 1978.
- [2] 中华人民共和国中医药管理局. 中华本草 [M]. 上海: 上海科技出版社, 1999.
- [3] Shao B, Guo H Z, Cui Y J, et al. Steroidal saponins from *Smilax china* and their anti-inflammatory activities [J]. *Phytochemistry*, 2007, 68(5): 623-630.
- [4] 阮金兰, 邹健, 蔡亚玲. 獢莫化学成分研究 [J]. 中药材, 2005, 28(1): 24-26.
- [5] 冯峰, 柳文媛, 陈优生, 等. 黄酮和芪类成分的研究 [J]. 中国药科大学学报, 2003, 34(2): 119-121.
- [6] Silva D, Yoshida M, Kato J M, et al. Flavonoids from *Iryanthera sagotiana* [J]. *Phytochemistry*, 1997, 46(3): 579-582.
- [7] Baderschneider B, Winterhalter P. Isolation and characterization of novel benzoates, cinnamates, flavonoids and lignans from riesling wine and screening for antioxidant activity [J]. *J Agric Food Chem*, 2001, 49(6): 2788-2798.
- [8] 丁林生, 梁侨丽, 腾艳芬. 枫子黄酮类成分研究 [J]. 药学学报, 1997, 32(8): 600-602.
- [9] 袁久志, 窦德强, 陈英杰, 等. 土茯苓二氢黄酮醇类成分研究 [J]. 中国中药杂志, 2004, 29(9): 867-870.
- [10] 王先荣, 周正华, 杜安全, 等. 黄蜀葵花黄酮成分的研究 [J]. 中国天然药物, 2004, 2(2): 91-92.
- [11] 华燕, 周建于, 倪伟, 等. 虎杖的化学成分研究 [J]. 天然产物研究与开发, 2001, 13(6): 16-18.
- [12] 康昆, 时育红, 张鹏飞, 等. 荆三棱化学成分的研究(I) [J]. 天然产物研究与开发, 2008, 20(4): 639-640.